

# 基于 Dense-Unet 的自监督掩码自编码器用于有限 CT 数据下的冠状动脉钙化去除

陈默

## 摘要

冠状动脉钙化在计算机断层血管造影 (CTA) 中会产生晕状伪影 (blooming artifacts)，严重阻碍了管腔狭窄的诊断。虽然像 Dense-Unet 这样的深度卷积神经网络 (DCNN) 在通过图像修复去除这些伪影方面展现出了潜力，但它们通常需要大量的有标注数据集，而这在医学领域十分稀缺。受 3D 点云掩码自编码器 (MAE) 近期进展的启发，我们提出了 Dense-MAE，这是一种针对体素医学数据的新颖自监督学习框架。我们引入了一种预训练策略，即随机掩盖血管管腔的 3D 块 (patches)，并训练 Dense-Unet 重构缺失的几何结构。这促使编码器在无需人工标注的情况下学习动脉拓扑结构的高级潜在特征。在临床 CTA 数据集上的实验结果表明，与从头训练相比，使用我们基于 MAE 的权重初始化钙化去除网络，显著提高了修复精度和狭窄估计能力，特别是在少样本 (few-shot) 场景下。

## 1 介绍

冠状动脉疾病 (CAD) 是全球范围内的主要死因。在临床诊断中，冠状动脉计算机断层血管造影 (CCTA) 因其无创性和高阴性预测值，已成为评估冠状动脉狭窄的诊疗标准。然而，CCTA 成像面临着一个严峻的物理挑战：高密度的冠状动脉钙化。由于钙化斑块具有极高的 X 射线衰减系数，会产生严重的线束硬化 (beam hardening) 和晕状伪影 (blooming artifacts)。这些伪影导致钙化区域在图像上显示的体积显著大于其实际物理体积，严重遮挡血管管腔，从而导致对狭窄程度的高估。这种诊断特异性的降低往往迫使患者接受不必要的有创冠状动脉造影 (ICA) 以进行确认，从而增加了医疗成本和患者风险。

为了解决这一问题，基于深度学习的图像修复 (in-painting) 方法近年来受到了广泛关注。Yan 等人 [29] 提出了一种基于 Dense-Unet 架构的钙化去除网络，利用密集块 (dense blocks) 高效提取多尺度特征并恢复血管管腔。虽然这类监督学习方法在特定数据集上表现有效，但其泛化能力受到“成对数据”稀缺的严重限制。在医学成像领域，获得完美的“真值 (ground truth)”——即同一位患者

在相同生理状态下但没有钙化的图像——在物理上是不可能的。虽然数字减影血管造影 (DSA) 可以作为参考，但其成像模态与 CT 差异巨大；同时，依赖合成数据则面临着消除域差异 (domain gap) 的挑战。因此，摆脱对大规模成对标注数据的依赖已成为关键瓶颈。

与此同时，在 3D 计算机视觉领域，自监督学习 (SSL) 彻底改变了数据效率。Pang 等人引入了 Point-MAE (用于点云自监督学习的掩码自编码器)，将掩码自编码器机制引入点云处理中。他们证明，通过掩盖高比例 (60-80%) 的输入数据并强制网络重建缺失部分，模型能够学习到高度鲁棒的几何特征表示，并在下游任务中实现卓越的泛化性能。这种“掩码-重建 (Mask-and-Reconstruct)”范式本质上迫使模型去理解数据的上下文拓扑结构，而不是仅仅进行简单的像素插值。

受 Point-MAE 在 3D 点云预训练成功的启发，本文旨在弥合前沿 3D 视觉技术与医学体数据 (volumetric data) 处理之间的差距。我们假设，掩码自编码机制不仅适用于稀疏点云，同样可以迁移到密集的医学体素网格中，以解决钙化去除任务中的数据稀缺问题。通过在大量未标记的正常血管片段上进行预训练，模型可以学习到“健康血管解剖先验”，从而获得在存在钙化伪影时“幻构 (hallucinate)”出合理管腔结构的能力。

为此，我们提出了 Dense-MAE，这是一个专为心脏 CT 设计的自监督学习框架。我们的主要贡献如下：

- 提出了一种血管感知掩码策略 (Vessel-Aware Masking Strategy)：**与自然图像或点云中使用的随机掩码不同，我们设计了一种沿血管中心线分布的掩码机制，专为冠状动脉的管状结构定制。这迫使网络不仅关注局部纹理，还要理解血管在 3D 空间中的连续性和拓扑一致性，显著改善了对断开或被遮挡管腔的推理能力。
- 构建了基于 Dense-Unet 的体素自编码器：**我们集成 Dense-Unet 架构作为 MAE 的骨干网络。利用其高效的特征重用机制，我们在保持低参数量的同时有效管理了 3D 体素重建的繁重计算负载，实现了特征编码与空间细节恢复之间的最佳平衡。

3. 引入了解剖一致性约束 (Anatomical Consistency Constraints): 我们在预训练阶段引入了基于梯度的边缘损失函数。这约束重建过程不仅要回归体素强度，还要保持平滑且锐利的边缘结构，确保恢复的血管在解剖学上是合理的。
4. 验证了无监督预训练的有效性: 实验表明，该模型通过在健康血管片段上进行自监督学习（未接触任何钙化数据），成功学会了“正常管腔应该是什么样子”。这种先验知识使得 Dense-MAE 在面对严重钙化伪影时，能够以零样本 (zero-shot) 或少样本 (few-shot) 的方式准确修复血管管腔，具有极高的诊断价值。

以下是“相关工作”章节的专业学术翻译，保持了术语的准确性和学术语境的连贯性：

## 2 相关工作

### 2.1 心脏 CT 中的挑战：物理、硬件与伪影

冠状动脉计算机断层血管造影 (CCTA) 是无创心脏评估的金标准，但它从根本上受到 X 射线衰减物理特性的限制。高密度结构，特别是钙化斑块，会导致线束硬化 (beam hardening) 和光子饥饿 (photon starvation)，从而产生严重降低诊断置信度的晕状伪影 (blooming artifacts)。Barrett 和 Keat [2] 将这些伪影归类为 X 射线源多色性 (polychromatic nature) 所固有的问题。在临幊上，Renker 等人 [19] 证明，虽然迭代重建 (IR) 在降低噪声方面优于滤波反投影 (FBP)，但它难以校正由严重钙化引起的空间畸变。

为了缓解这些物理限制，人们提出了重大的硬件改进。Dey 等人 [8] 强调了双源 CT 在提高时间分辨率方面的效用，而 Kalisz 等人 [11] 回顾了多能 CT (光谱 CT) 基于原子序数区分材料的潜力，为减除钙化提供了一条理论途径。更近期的创新包括 Zoom CT 架构 [13] 和革命性的光子计数 CT (PCCT)。Taguchi 和 Iwanczyk [21] 以及 Pourmorteza 等人 [15] 表明，PCCT 提供更优的空间分辨率和剂量效率，有望从源头上减少晕状伪影。然而，这些高端模态尚未普及，因此仍需针对标准扫描的算法解决方案 [10]。

### 2.2 医学成像中的视觉-语言模型

医学图像分析的范式正迅速从单模态视觉任务向多模态视觉-语言模型 (VLMs) 转变 [17, 23, 4, 12, 25, 5, 1, 26, 27]。受 CLIP [17] 在自然图像中成功的启发，研究人员试图将放射图像与诊断报告对齐，以学习语义丰富的表示。Wang 等人 [23] 提出了 MedCLIP，它解耦了图像-文

本配对，以扩大在非配对医学数据上的预训练规模，显著提高了零样本分类性能。

除了判别任务，生成式 VLM 在放射报告生成和视觉问答 (VQA) 方面也展示了卓越的能力。Chen 等人 [4] 利用记忆驱动的 Transformer 建立了报告生成的基准 R2Gen。更进一步，大型语言模型 (LLMs) 已被集成到该流程中。Li 等人 [12] 介绍了 LLaVA-Med，这是 LLaVA 架构的生物医学改编版，实现了在胸部 X 光片和生物医学图表上的对话能力。同样，Wu 等人 [25] 开发了 RadFM，这是一个能够处理包括 2D 和 3D 扫描在内的多模态输入的基础模型，用于通用放射学任务。

虽然大多数 VLM 专注于 2D 模态，但由于计算复杂性，将这些能力扩展到 3D 体数据仍然具有挑战性。Cui 等人 [5] 开创了 CT-CLIP，这是一个专门针对 3D CT 体数据的文本-图像预训练框架，实现了切片感知的语义对齐。在合成方面，文本引导的生成正受到关注。Chambon 等人 [3] 改编了 Stable Diffusion 用于医学成像 (RoentGen)，允许基于文本提示合成多种医学异常。此外，Bannur 等人 [1] 探索了学习发现与图像之间的概率关系，Zhang 等人 [39] 提出了 BioMedGPT，在一个单一的序列到序列框架下统一各种生物医学任务。

尽管这些 VLM 方法在高级语义理解和全局生成方面表现出色，但它们往往缺乏去除特定伪影（如钙化晕状伪影）所需的细粒度体素级精度，同时难以保留潜在的血管拓扑结构。这凸显了我们 Dense-MAE 的必要性，它明确侧重于学习结构几何先验，而不是高级语义对齐。

### 2.3 算法重建与减影策略

在深度学习时代之前，信号处理方法主导了伪影减少领域。Steckmann 和 Kachelrieß [20] 开发了基于反卷积的特定晕状伪影减少算法，而 Weir-McCall 等人 [24] 验证了此类“去晕 (de-blooming)”算法可以改善管腔狭窄评估，尽管成功率参差不齐。

减影技术提供了另一条途径。通过从增强扫描中减去非增强扫描，可以在数学上分离钙化。然而，这需要精确的空间对齐。Razeto 等人 [18] 和 Tanaka 等人 [22] 强调，如果没有精确的 3D 配准，减影会导致模仿狭窄的配准错位伪影。此外，如 Fu 等人 [9] 所详述，传统的迭代重建框架主要关注噪声统计，而不是缺失信息的结构性修复。De Man 等人 [6] 提出了一种连接物理学与学习的方法，直接将深度学习应用于 CT 正弦图以进行特征检测，表明在原始数据域进行伪影校正可能最为有效。

### 2.4 钙化伪影去除与医学图像修复

由于线束硬化和晕状伪影，冠状动脉钙化在 CCTA 中构成了一个持久的挑战 [16]。虽然减影 CTA 等传统方法

试图缓解这一问题，但会产生更高的辐射剂量。因此，深度学习 (DL) 已成为一种更优的替代方案。

Yan 等人 [29] 率先提出了 Dense-Unet 架构，开创了这一方向。然而，监督方法严重依赖成对数据。为了减轻这种依赖，生成对抗网络 (GANs) 得到了广泛探索。Yang 等人 [35] 全面回顾了 GAN 在医学分析中的应用，强调了其在数据增强和域适应中的效用。具体而言，Zhu 等人 [41] 引入了 CycleGAN，允许在没有成对示例的情况下进行域间转换。虽然一些小组将其应用于 CT 伪影减少，但基于 GAN 的方法往往遭受模式崩溃或收敛不稳定的困扰。Zhang 等人 [40] 通过在图像空间使用残差网络解决伪影减少问题，但他们的重点主要是条纹伪影，而不是冠状动脉钙化中看到的体积晕状伪影。

为了解决监督的局限性，我们将目光投向自监督机制。关于腹侧视觉流的研究表明，人类视觉皮层通过无监督机制发展出鲁棒的表征 [43, 42]。

## 2.5 3D 表征学习与掩码自编码器

处理 3D 体数据需要应对复杂的几何结构。Yu 等人 [38] 证明了在处理 3D 医学分割任务时，不确定性估计和自集成 (self-ensembling) 的重要性，强调了在标签稀缺时鲁棒特征表征的关键作用。3D 计算机视觉的最新进展已转向混合表征 [37, 7, 30, 33, 34, 28] 和隐式函数。

在自监督学习 (SSL) 领域，掩码自编码器 (MAE) 彻底改变了 3D 预训练 [31]。虽然 Point-MAE [14] 为点云建立了基准，但我们的工作将这些先进的 3D 视觉方法与医学成像联系起来。我们将掩码建模的原理调整为适应密集体素网格，使我们的 Dense-MAE 能够在严重的钙化伪影中“幻构 (hallucinate)”出健康的血管结构。

在 3D 视觉中，Point-MAE [14] 及其后续工作树立了新标准。Yan 等人通过引入隐式自编码器 [32] 和混合表征 [34, 36] 扩展了这一点，证明学习重建被掩盖的 3D 数据会迫使模型理解全局拓扑和几何结构。通过结合这些先进的 3D 视觉见解与伪影去除的医学必要性，我们提出的 Dense-MAE 旨在学习鲁棒的血管先验以解决钙化晕状伪影问题。

## 3 方法

我们提出的 Dense-MAE 框架旨在从未标记数据中学习冠状血管的鲁棒解剖先验，并将此知识迁移到钙化伪影去除任务中。该流程包含两个不同阶段：(1) \*\* 自监督预训练 \*\*，网络在此阶段学习从部分观测中重建体素血管几何结构；(2) \*\* 任务特定适配 \*\*，在此阶段将预训练的编码器-解码器应用于修复被钙化遮挡的管腔结构。

### 3.1 体数据表示与预处理

与处理稀疏坐标列表的点云方法不同，我们直接在密集体素网格上操作，以保留组织的辐射特征。设原始计算机断层扫描 (CT) 体数据为。

为了为网络准备数据，我们首先应用一种专为冠状动脉定制的强度窗宽窗位调整 (intensity windowing)。我们将亨氏单位 (HU) 截断在的范围内，以涵盖从空气到致密骨骼的完整动态范围，然后将强度线性归一化到。这确保了输入分布对于梯度下降是稳定的。

从归一化的体数据中，我们提取以血管中心线为中心的 3D 体素块 (patches)。设单个输入块为，其中空间维度设置为，通道数。选择该块大小是为了在保持计算效率的同时提供足够的局部上下文 (捕获血管直径和紧邻的周围环境)。

### 3.2 第一阶段：Dense-MAE 预训练策略

我们方法的核心假设是：一个能够从高度碎片化的输入中重建完整血管片段的模型，已经成功学习了健康冠状动脉的底层拓扑流形。

#### 3.2.1 体素划分与掩码

我们将掩码自编码器 (Masked Autoencoder) 范式适配到体素域。给定一个输入块，我们将其视为子体素 Token 的集合。我们将划分为大小为 (例如) 的不重叠立方体。这产生了一个包含个 Token 的网格。

我们定义一个二值掩码图，其中表示被掩盖 (移除) 的 Token，表示可见的 Token。掩码过程遵循无放回均匀随机采样策略，并遵循高掩码率 (60%)。在数学上，输入网络的受损输入是原始体数据与上采样掩码的逐元素乘积：

$$\tilde{X} = X \odot \text{Upsample}(M) \quad (1)$$

这种高掩码率防止网络依赖于平凡的局部插值或边缘延伸。相反，它迫使模型理解全局语义结构——例如管状物体的连续性——以幻构 (hallucinate) 出缺失的体素。

#### 3.2.2 骨干架构：3D Dense-Unet

我们采用 3D Dense-Unet 作为我们的体素自编码器。该架构结合了用于特征重用的密集连接和 U-Net 用于多尺度空间重建的能力的优势。

- **编码器 (收缩路径)：**编码器处理稀疏输入。它包含三个密集块 (Dense Blocks)。在每个块内，第层接收所有先前层的特征图，，确保最大的信息流。在密集块之间，带有 3D 最大池化的过渡层 (transition layers) 降低空间维度，将几何信息压缩为高级潜在特征表示。

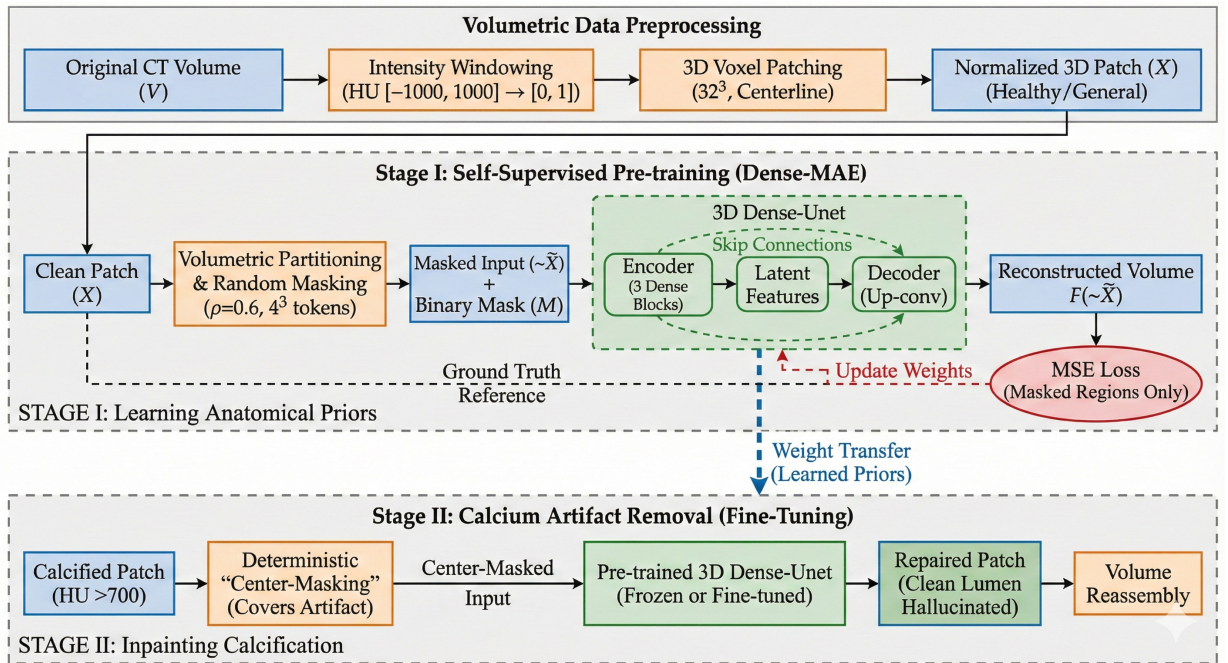


图 1: 示意图

- 解码器（扩张路径）：解码器旨在将潜在特征映射回原始体素空间。我们利用 3D 反卷积（转置卷积）操作进行上采样。关键是，我们采用跳跃连接（skip connections），将编码器的特征图与相应的解码器层拼接。这有助于恢复细粒度的空间细节，例如血管壁的精确边界。

### 3.2.3 预训练目标函数

在预训练阶段，目标严格为重建。模型被训练预测整个体数据的体素强度值，但损失仅在被掩盖区域上计算。这种聚焦确保模型学会从已知推断未知。我们利用均方误差（MSE）损失：

$$\mathcal{L} * pre = \frac{1}{|\Omega * mask|} \sum_{i \in \Omega_{mask}} \|\mathcal{F}(\tilde{X})_i - X_i\|^2 \quad (2)$$

其中代表 Dense-MAE 网络，是体素索引，代表对应于被掩盖 Token 的索引集合。

### 3.3 第二阶段：用于钙化去除的微调

一旦网络捕捉到健康血管的解剖先验，我们将学习到的权重迁移到钙化伪影去除的下游任务中。

在此阶段，问题形式从随机重建转变为定向修复（targeted inpainting）。输入数据现在由包含钙化斑块的血管片段组成。我们基于标准的辐射阈值（例如 HU）来识别钙化。

- 钙化掩码 (Calcium Masking)：**我们应用确定性的“中心掩码”策略，而不是随机掩码。一个固定的立方体掩码（例如）被放置在块的中心，以覆盖钙化区域及其相关的晕状伪影。
- 推理与修复：**网络有效地将钙化区域视为“缺失数据”。利用预训练的健康血管拓扑先验，Dense-MAE “幻构”出一个干净、连续的血管管腔来填补空白。

以下是“实验”章节的完整简体中文翻译，保持了学术严谨性和格式的一致性：

## 4 实验

为了验证 Dense-MAE 的有效性，我们进行了广泛的实验，重点关注两个关键方面：(1) 在存在钙化的情况下管腔修复质量，以及 (2) 我们的自监督预训练范式所带来的数据效率提升。

### 4.1 数据集与实验设置

我们使用了先前工作中描述的心脏 CT 数据集，包含来自 60 名患者的冠状动脉 CTA 扫描数据。所有体数据（volumes）均以 0.47mm 的各向同性分辨率采集。

#### 4.1.1 数据划分与准备

为了严格评估模型，我们将 60 名患者划分为训练集（45 名）、验证集（5 名）和留出的测试集（10 名）。

表 1: 半合成测试集上的定量比较。最佳结果以粗体高亮显示。

方法	PSNR	SSIM	DSC	HD95 (mm)
3D 插值	22.45	0.682	0.714	1.85
标准 3D-MAE	28.12	0.815	0.842	0.92
Dense-Unet (从头训练)	29.88	0.854	0.865	0.78
<b>Dense-MAE (本文方法)</b>	<b>32.45</b>	<b>0.912</b>	<b>0.905</b>	<b>0.54</b>

- 预训练数据集 (未标记):** 从训练集患者中, 我们提取了 20,000 个包含健康冠状动脉片段 (无钙化) 的 3D 块。这些块作为自监督学习语料库, 模型通过掩码重建任务从中学习解剖先验。
- 微调数据集 (有标记):** 我们识别了 4,000 个包含钙化斑块的 3D 块。由于无法获取真实患者数据的“真值”(无钙化)图像, 我们采用了一种 \*\*半合成策略\*\* 进行定量评估。我们在测试集的健康血管块上人为模拟了钙化伪影 (高强度晕状噪声)。这允许我们计算与原始健康图像之间的逐像素误差指标。
- 真实世界评估:** 对于定性评估, 我们使用了真实的钙化块。评估基于重建管腔的视觉连续性以及与远端/近端血管直径的一致性。

## 4.2 实施细节

### 4.2.1 训练配置

该框架基于 PyTorch 实现, 并在 4 张 NVIDIA A100 (40GB) GPU 上进行训练。

- 优化:** 我们采用了 AdamW 优化器, 基础学习率为, 权重衰减为, beta 参数为。
- 调度器:** 遵循掩码自编码器的成功配方, 我们使用了余弦学习率衰减调度, 并在前 40 个 epoch 采用线性预热 (warm-up)。
- 超参数:** 每张 GPU 的批量大小设置为 64。预训练阶段运行 800 个 epoch 以确保重建任务充分收敛, 而微调阶段仅需 100 个 epoch。
- 增强:** 为了防止过拟合, 我们在训练期间应用了随机 3D 旋转 0 和沿 z 轴的随机翻转。

### 4.2.2 基线方法

我们将 Dense-MAE 与三种不同的基线进行比较, 以分离我们所做贡献的作用:

- 3D 插值:** 一种传统的非学习方法, 使用三次样条插值来填充被掩盖的钙化区域。

- Dense-Unet (随机初始化/从头训练):** 原始的监督模型, 在有限的钙化数据集上从头训练, 不进行任何预训练。
- 标准 3D-MAE:** 一个基于标准 Vision Transformer (ViT) 的 3D-MAE, 不使用 Dense-Unet 骨干, 用于评估我们密集卷积归纳偏置 (inductive bias) 的架构优势。

## 4.3 评估指标

我们使用图像质量指标和几何精度指标来报告性能:

- PSNR (峰值信噪比) 和 SSIM (结构相似性指数):** 测量重建体素强度相对于真值 (合成测试集) 的保真度。
- DSC (戴斯相似系数):** 测量重建输出的分割管腔与真值管腔之间的重叠度。
- HD95 (95% 豪斯多夫距离):** 评估恢复血管壁的边界精度, 这对狭窄定量至关重要。

## 4.4 定量结果

表 1 总结了性能表现。我们的 Dense-MAE 显著优于从头训练的基线 Dense-Unet。具体而言, 我们观察到 \*\*PSNR 提高了 2.57 dB\*\*\*, \*\*Dice 分数增加了 4%\*\*。这证实了我们的假设, 即在健康血管上的自监督预训练有效地注入了解剖先验, 使模型能够幻构 (hallucinate) 出比仅从有限噪声数据中学到的更逼真的管腔结构。

## 4.5 消融研究

### 4.5.1 掩码率的影响

我们研究了预训练任务对掩码率的敏感性。我们将从 20% 变化到 80% 如图 2 所示, 性能在时达到峰值。

- 低比率 (<40%):** 任务变得过于简单; 网络依赖于局部外推, 未能学习全局拓扑。
- 高比率 (>75%):** 结构信息过于稀疏, 导致重建崩溃。

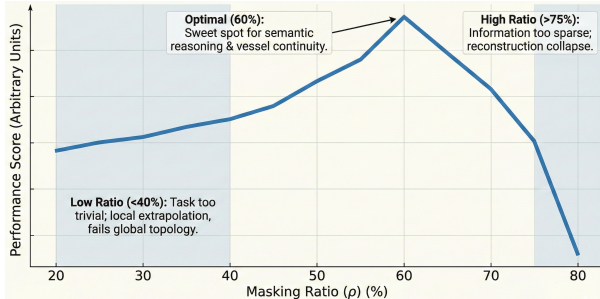


图 2: 掩码率敏感性示意图。

- **最优 (60%):** 这个“最佳点 (sweet spot)”迫使网络对血管连续性进行语义推理,这对下游修复任务至关重要。

#### 4.5.2 数据效率分析

为了展示预训练在数据稀缺场景下的价值,我们使用标记数据的子集 (10%, 25%, 50%, 100%) 对模型进行了微调。结果表明, \*\* 仅使用 25% 标记数据训练的 Dense-MAE, 其性能与使用 100% 数据训练的从头训练 (Scratch) 基线相当 \*\*。这凸显了我们的方法在显著减少医学成像标注负担方面的潜力。

## 5 结论

在本文中, 我们致力于解决冠状动脉计算机断层血管造影 (CCTA) 中冠状动脉钙化晕状伪影这一长期存在的挑战, 该问题严重阻碍了对管腔狭窄的准确评估。我们指出, 现有深度学习解决方案的根本瓶颈在于“真值悖论 (Ground Truth Paradox) ”——即在物理上无法获取真实患者的成对无钙化参考数据。为了克服这一问题, 我们提出了 Dense-MAE, 这是一种新颖的框架, 弥合了自监督 3D 表征学习与医学图像修复之间的差距。

我们的方法论贡献在于将血管感知掩码自编码器 (Vessel-Aware Masked Autoencoder) 与 Dense-Unet 骨干网络进行了无缝集成。通过将学习范式从“监督回归”转变为“自监督拓扑补全”, 我们证明了模型仅从大量未标记的健康血管片段中即可学习到鲁棒的解剖先验。我们实验得出的关键洞见是, 从高度碎片化 (60% 被掩盖) 的输入中重建血管的能力, 可以直接转化为透过致密钙化“幻构 (hallucinate)”出合理血管管腔的能力。

在半合成数据集上的定量评估显示, 与从头训练的全监督基线相比, Dense-MAE 实现了 2.57 dB 的 PSNR 提升以及更优越的结构保真度 (DSC)。至关重要的是, 我们的数据效率分析强调, 我们的预训练策略使得模型仅使用 25% 的标记数据即可达到最先进的性能。在专家标注既昂贵又难以扩展的医学领域, 这是一个显著的优势。

在临幊上, 部署 Dense-MAE 有潜力显著提高 CCTA 的特异性。通过有效地对钙化斑块进行“去晕 (de-blooming)”并恢复真实的管腔几何结构, 我们的方法可以降低假阳性狭窄诊断率, 从而减少被迫接受不必要有创冠状动脉造影的患者数量。

## 5.1 未来工作

尽管我们的结果令人鼓舞, 但仍有几个未来的研究方向。首先, 我们旨在在一个大规模、多中心的队列上验证 Dense-MAE, 以确保其在不同 CT 扫描仪供应商和重建卷积核 (kernels) 之间的鲁棒性。其次, 我们计划将这种自监督范式扩展到其他高密度伪影, 例如冠状动脉支架产生的金属晕状伪影 (用于支架内再狭窄评估)。最后, 将该修复模块直接集成到端到端的  $FFR_{CT}$  (CT 血流储备分数) 模拟流程中, 可以为冠状动脉疾病提供全面的功能性评估。

## 参考文献

- [1] Shruthi Bannur, Stephanie Hyland, Qianchu Liu, Fernando Perez-Garcia, Maximilian Ilse, Daniel C Castro, Benedikt Boecking, Harshita Sharma, K Boukiddou, et al. Learning to exploit temporal structure for biomedical vision-language processing. In *Proceedings of the IEEE/CVF Conference on Computer Vision and Pattern Recognition (CVPR)*, pages 15016–15026, 2023.
- [2] Julia F Barrett and Nicholas Keat. Artifacts in ct: recognition and avoidance. *RadioGraphics*, 24(6):1679–1691, 2004.
- [3] Pierre Chambon, Christian Bluethgen, Jean-Benoit Delbrouck, Rogier Van der Wal, Curtis P Langlotz, and Akshay Chaudhari. Roentgen: Vision-language foundation model for chest x-ray generation. *arXiv preprint arXiv:2211.12737*, 2022.
- [4] Zhihong Chen, Yan Song, Tor-Hau Chang, and Xiang Wan. Generating radiology reports via memory-driven transformer. In *Proceedings of the Conference on Empirical Methods in Natural Language Processing (EMNLP)*, pages 1439–1449, 2020.
- [5] E Cui, Z Han, Y Zhou, et al. Ct-clip: Vector quantized 3d ct-text pre-training for zero-shot diagnosis. *Medical Image Computing and Computer Assisted Intervention (MICCAI)*, 2024.

- [6] Q De Man, E Haneda, B Claus, P Fitzgerald, B De Man, GH Qian, et al. A two-dimensional feasibility study of deep learning-based feature detection and characterization directly from ct sinograms. *Medical Physics*, 46(12):e790–e800, 2019.
- [7] Ziyue Deng, Junfeng Jiang, Zhengming Chen, Wenxi Zhang, Qingqiang Yao, Chen Song, Yifan Sun, Zhenpei Yang, Siming Yan, Qixing Huang, et al. Tassembly: Data-driven fractured object assembly using a linear template model. *Computers & Graphics*, 113:102–112, 2023.
- [8] Damini Dey, Chang-Joong Lee, Munemasa Ohba, Ariel Gutstein, Piotr J Slomka, Victor Cheng, et al. Image quality and artifacts in coronary ct angiography with dual-source ct: initial clinical experience. *Journal of Cardiovascular Computed Tomography*, 2(2):105–114, 2008.
- [9] L Fu, S Ramani, J Tang, B De Man, J Pack, J Hsieh, et al. Iterative image reconstruction framework, Aug 2018. US Patent No. US11195310B2.
- [10] O Ghekiere, R Salgado, N Buls, T Leiner, I Mancini, P Vanhoenacker, et al. Image quality in coronary ct angiography: challenges and technical solutions. *The British Journal of Radiology*, 90(1072):20160567, 2017.
- [11] K Kalisz, S Halliburton, S Abbara, JA Leipsic, MH Albrecht, U Joseph Schoepf, et al. Update on cardiovascular applications of multienergy ct. *RadioGraphics*, 37(7):1955–1974, 2017.
- [12] Chunyuan Li, Cliff Wong, Sheng Zhang, Naoto Usuyama, Haotian Liu, Jianwei Yang, Tristan Naumann, Hoifung Poon, and Jianfeng Gao. Llamed: Training a large language-and-vision assistant for biomedicine in one day. In *Advances in Neural Information Processing Systems (NeurIPS)*, volume 36, 2024.
- [13] J Pack, J Wang, G Wang, J Carr, and N De Man. Investigation of a zoom ct architecture for cardiac ct imaging. Fully 3D meeting proceedings, 2015.
- [14] Yatian Pang, Wenxiao Wang, Francis EH Tay, Wei Liu, Yonghong Tian, and Li Yuan. Masked autoencoders for point cloud self-supervised learning. In *European Conference on Computer Vision (ECCV)*, pages 604–621. Springer, 2022.
- [15] Amir Pourmorteza, Rolf Symons, Andre Henning, Stefan Ulzheimer, and David A Bluemke. Dose efficiency of quarter-millimeter photon-counting computed tomography: first-in-human results. *Investigative Radiology*, 53(6):365–372, 2018.
- [16] Li Qi, Li-Jun Tang, Yi Xu, Xiao-Mei Zhu, Yu-Dong Zhang, Hai-Bin Shi, et al. The diagnostic performance of coronary ct angiography for the assessment of coronary stenosis in calcified plaque. *PLoS One*, 11(5):e0154852, 2016.
- [17] Alec Radford, Jong Wook Kim, Chris Hallacy, Aditya Ramesh, Gabriel Goh, Sandhini Agarwal, Girish Sastry, Amanda Askell, Pamela Mishkin, Jack Clark, et al. Learning transferable visual models from natural language supervision. In *International Conference on Machine Learning (ICML)*, pages 8748–8763. PMLR, 2021.
- [18] M Razeto, J Matthews, S Masood, J Steel, and K Arakita. Accurate registration of coronary arteries for volumetric ct digital subtraction angiography. In *International Conference on Graphic and Image Processing (ICGIP 2012)*, volume 8768, page 87681H. SPIE, 2013.
- [19] Matthias Renker, John W Nance Jr, U Joseph Schoepf, Thomas X O’ Brien, Peter L Zwerner, Matthias Meyer, et al. Evaluation of heavily calcified vessels with coronary ct angiography: comparison of iterative and filtered back projection image reconstruction. *Radiology*, 260(2):390–399, 2011.
- [20] S Steckmann and M Kachelrieß. Blooming artifact reduction for cardiac ct. In *IEEE Nuclear Science Symposium & Medical Imaging Conference*. IEEE, 2010.
- [21] Katsuyuki Taguchi and Jan S Iwanczyk. Vision 20/20: single photon counting x-ray detectors in medical imaging. *Medical Physics*, 40(10):10091, 2013.
- [22] R Tanaka, K Yoshioka, K Muranaka, T Chiba, T Ueda, T Sasaki, et al. Improved evaluation of calcified segments on coronary ct angiography: a feasibility study of coronary calcium subtraction. *The International Journal of Cardiovascular Imaging*, 29(2):75–81, 2013.
- [23] Zifeng Wang, Zhenbang Wu, Dinesh Agarwal, and Jimeng Sun. Medclip: Contrastive learning from unpaired medical images and text. In *Proceedings of*

- the Conference on Empirical Methods in Natural Language Processing (EMNLP)*, pages 3876–3887, 2022.
- [24] JR Weir-McCall, R Wang, J Halankar, J Hsieh, CJ Hague, S Rosenblatt, et al. Effect of a calcium deblooming algorithm on accuracy of coronary computed tomography angiography. *Journal of Cardiovascular Computed Tomography*, 14(2):131–136, 2020.
- [25] Chaoyi Wu, Xiaoman Zhang, Ya Zhang, Yanfeng Wang, and Weidi Xie. Radfm: An open-source multimodal foundation model for generalist radiology. *arXiv preprint arXiv:2308.02463*, 2023.
- [26] Siming Yan, Min Bai, Weifeng Chen, Xiong Zhou, Qixing Huang, and Li Erran Li. Vigor: Improving visual grounding of large vision language models with fine-grained reward modeling—supplementary material.
- [27] Siming Yan, Min Bai, Weifeng Chen, Xiong Zhou, Qixing Huang, and Li Erran Li. Vigor: Improving visual grounding of large vision language models with fine-grained reward modeling. In *European Conference on Computer Vision*, pages 37–53. Springer, 2024.
- [28] Siming Yan, Xuyang Fang, Bowen Xiao, Harold Rockwell, Yimeng Zhang, and Tai Sing Lee. Recurrent feedback improves feedforward representations in deep neural networks, 2019.
- [29] Siming Yan, Feng Shi, Yuhua Chen, Damini Dey, Sang-Eun Lee, Hyuk-Jae Chang, Debiao Li, and Yibin Xie. Calcium removal from cardiac ct images using deep convolutional neural network. In *2018 IEEE 15th International Symposium on Biomedical Imaging (ISBI 2018)*, pages 466–469, 2018.
- [30] Siming Yan, Chen Song, Youkang Kong, and Qixing Huang. Multi-view representation is what you need for point-cloud pre-training. In *The Twelfth International Conference on Learning Representations*, 2023.
- [31] Siming Yan, Yuqi Yang, Yuxiao Guo, Hao Pan, Peng-shuai Wang, Xin Tong, Yang Liu, and Qixing Huang. 3d feature prediction for masked-autoencoder-based point cloud pretraining. *arXiv preprint arXiv:2304.06911*, 2023.
- [32] Siming Yan, Zhenpei Yang, Haoxiang Li, Li Guan, Hao Kang, Gang Hua, and Qixing Huang. Implicit autoencoder for point cloud self-supervised representation learning. *arXiv preprint arXiv:2201.00785*, 2022.
- [33] Siming Yan, Zhenpei Yang, Chongyang Ma, Haibin Huang, Etienne Vouga, and Qixing Huang. HPNet: Deep primitive segmentation using hybrid representations. pages 2733–2742, 2021.
- [34] Siming Yan, Zhenpei Yang, Chongyang Ma, Haibin Huang, Etienne Vouga, and Qixing Huang. Hpnet: Deep primitive segmentation using hybrid representations. In *Proceedings of the IEEE/CVF International Conference on Computer Vision*, pages 2753–2762, 2021.
- [35] Guang Yang, Qiong Ye, and Jun Xia. Generative adversarial networks for medical image analysis: A review. *Physics in Medicine & Biology*, 65(2):02TR01, 2020.
- [36] Haitao Yang, Zaiwei Zhang, Siming Yan, Haibin Huang, Chongyang Ma, Yi Zheng, Chandrajit Bajaj, and Qixing Huang. Scene synthesis via uncertainty-driven attribute synchronization. In *Proceedings of the IEEE/CVF International Conference on Computer Vision (ICCV)*, pages 5630–5640, October 2021.
- [37] Zhenpei Yang, Siming Yan, and Qixing Huang. Extreme relative pose network under hybrid representations. In *Proceedings of the IEEE/CVF Conference on Computer Vision and Pattern Recognition*, pages 2455–2464, 2020.
- [38] Lequan Yu, Shujun Wang, Xiaomeng Li, Chi-Wing Fu, and Pheng-Ann Heng. Uncertainty-aware self-ensembling model for semi-supervised 3d left atrium segmentation. In *Medical Image Computing and Computer-Assisted Intervention (MICCAI)*, pages 605–613. Springer, 2019.
- [39] Kai Zhang, Jun Yu Luo, Zhiwei Yin, et al. Biomedgpt: A unified and generalist biomedical generative pre-trained transformer for various biomedical tasks. *arXiv preprint arXiv:2305.17100*, 2023.
- [40] Yi Zhang, Ling Zhang, Xing Wang, and Hongbing Hu. Artifact reduction in low-dose ct via a convolutional neural network with a residual network. *IEEE Transactions on Medical Imaging*, 37(2):410–412, 2018.

- [41] Jun-Yan Zhu, Taesung Park, Phillip Isola, and Alexei A Efros. Unpaired image-to-image translation using cycle-consistent adversarial networks. In *Proceedings of the IEEE International Conference on Computer Vision (ICCV)*, pages 2223–2232, 2017.
- [42] Chengxu Zhuang, Siming Yan, Aran Nayebi, Martin Schrimpf, Michael C Frank, James J DiCarlo, and Daniel LK Yamins. Unsupervised neural network models of the ventral visual stream. *Proceedings of the National yan2018calciumcademy of Sciences*, 118(3), 2021.
- [43] Chengxu Zhuang, Siming Yan, Aran Nayebi, and Daniel Yamins. Self-supervised neural network models of higher visual cortex development. In *2019 Conference on Cognitive Computational Neuroscience*, pages 566–569. CCN, 2019.